

# РЕЛЯТИВИСТСКИЕ ЯДЕРНЫЕ ПОПРАВКИ К СПИН-ЗАВИСИМОЙ СТРУКТУРНОЙ ФУНКЦИИ ДЕЙТРОНА $g_1^D$ В ПЕРЕМЕННЫХ СВЕТОВОГО КОНУСА

**Ф. Ф. Павлов\***

*Санкт-Петербургский государственный политехнический университет  
195251, Санкт-Петербург, Россия*

Поступила в редакцию 24 августа 2011 г.

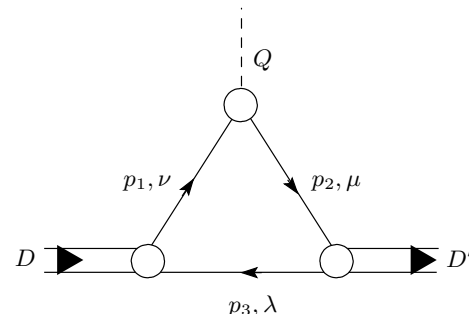
Рассматривается релятивистский дейtron как система двух сильно взаимодействующих нуклонов (дву-нуклонное приближение) в формализме светового конуса. Рассматривается техника расчета средней спиральности протона в дейтроне в переменных светового конуса, показан рецепт последовательного вычисления релятивистских ядерных поправок к средней спиральности протона в дейтроне и спин-зависимой структурной функции дейтрана  $g_1^D$ , обсуждается насколько изменится правило сумм Бьёркена с учетом релятивистских поправок.

## 1. ВВЕДЕНИЕ

Рассмотрение дейтрана в привычном нерелятивистском приближении не применимо к эффектам, связанным с наличием больших внутриядерных импульсов в дейтране, и не может дать описание всей совокупности экспериментальных данных. Поэтому учет релятивистских эффектов, связанных с высокимпульсной компонентой в дейтране, является весьма актуальным и требует адекватного теоретического описания.

В данной работе волновая функция дейтрана аппроксимируется протон-нейтронным фоковским состоянием. В работе используются развитые ранее методы релятивистской теории поля в переменных светового конуса, успешно применяемые в квантовой хромодинамике для описания спиновых явлений при эксклюзивном рождении векторных мезонов в глубоконеупругом рассеянии лептонов на протонах [1].

Мы рассматриваем дейtron как суперпозицию двунуклонных фоковских состояний с инвариантной массой, зависящей от относительного импульса протон-нейтронной пары. Условие поперечности векторов поляризации надо накладывать на уровне



**Рис. 1. Фейнмановская диаграмма для дейтрана**

фоковских компонент, и они будут зависеть от инвариантной массы фоковской компоненты. Такой «бегущий» продольный вектор поляризации в ранних оценках релятивистских эффектов не использовался.

Техника вычисления ядерных поправок к спин-зависимой структурной функции дейтрана является актуальной, поскольку на сегодняшний день не найдено однозначной процедуры учета релятивистских поправок к спин-зависимой структурной функции нейтрона, которую, как известно, извлекают из данных по протону и дейтрану.

\*E-mail: f.pavlov@tuexph.stu.neva.ru, pavlovfedor@mail.ru

## 2. АМПЛИТУДА ОДНОКРАТНОГО ЭЛЕКТРОН-ДЕЙТРОННОГО РАССЕЯНИЯ

Рассмотрим треугольную фейнмановскую диаграмму процесса однократного электрон-дейtronного рассеяния (рис. 1). Она включает в себя вершину взаимодействия  $\gamma$ -кванта с одним из нуклонов в дейтроне (причем второй нуклон является спектатором, находящимся на массовой поверхности), вершинную функцию распада дейтрана на протон и нейтрон в начальном состоянии и вершинную функцию дейтрана в конечном состоянии. Дейтран как частица со спином  $S = 1$  с точки зрения диаграмм Фейнмана есть массивный векторный мезон (частица Прока, массивный фотон и т. д.). Однако, в отличие от привычных диаграмм в квантовой электродинамике (КЭД) или в теории слабого взаимодействия, когда в электрослабых вершинах рождается фермион и поглощается антифермион (или рождается антифермион и поглощается фермион), в дейтран-протон-нейтронной-вершине ( $Dpn$ ) поглощение дейтрана сопровождается рождением двух фермионов, протона и нейтрона. Однако всегда мож-

но считать, что базисными частицами являются протон  $p$  и антинейтрон  $\bar{n} \equiv a_n$  и что дейтран есть связное состояние  $D = p\bar{a}_n$ , так что в вершине  $Dpn = D\bar{p}a_n$  поглощение дейтрана сопровождается рождением фермиона  $p$  и поглощением фермиона  $a_n$ . Тогда  $D\bar{p}a_n$  имеет привычный вид

$$\bar{\psi}_p \Gamma_\mu \psi_{a_n} D^\mu,$$

где  $D^\mu$  — оператор дейтранного поля, описываемого 4-вектором,  $\Gamma_\mu$  — вершинная функция. Как известно, ток  $\bar{\psi} \gamma_\mu \psi$ , где  $\gamma_\mu$  — 4-матрица Дирака, преобразуется при преобразованиях Лоренца как 4-вектор. Поскольку  $\bar{a}_n$  имеет четность, противоположную четности нейтрона, выражение  $\bar{\psi}_p \Gamma_\mu \psi_{a_n}$  будет иметь положительную четность, как и следует для дейтрана. В терминах распространения протона  $p$  и антинейтрона  $a_n$  диаграмма на рис. 1 имеет вид привычной фермионной петли.

Используя стандартные правила Фейнмана, вершинную часть амплитуды процесса, соответствующего рис. 1, можем представить в виде

$$A_k = (-1) \int \frac{d^4 p_3}{(2\pi)^4} \frac{\text{Sp} \left\{ i \left( \Gamma_\beta V_\beta^{(\rho)} \right) i (-\hat{p}_3 + m) i \left( \Gamma_\alpha^* V_\alpha^{(\rho')*} \right) i (\hat{p}_2 + m) i O_k i (\hat{p}_1 + m) \right\}}{(p_3^2 - m^2 + i\varepsilon)(p_2^2 - m^2 + i\varepsilon)(p_1^2 - m^2 + i\varepsilon)}, \quad (1)$$

где  $p_1, p_2$  — 4-векторы импульсов протонов, интегрирование ведется по 4-вектору импульса нейтрона  $p_3$ , контур интегрирования замкнут вокруг полюса нейтронного пропагатора (массы всех нуклонов равны  $m$ ), под импульсом со шляпкой подразумевается выражение  $\hat{p} = p_\mu \gamma_\mu$ , по дважды повторяющимся индексам всегда подразумевается суммирование;  $\Gamma_\beta$  — полная вершинная функция перехода дейтрана в протон-нейтронную пару в начальном состоянии, а  $\Gamma_\alpha^*$  — полная вершинная функция дейтрана в конечном состоянии;  $V_\beta^{(\rho)}$  и  $V_\alpha^{(\rho')*}$  — 4-векторы поляризаций дейтрана соответственно в начальном и конечном состояниях в спиральном представлении;  $\rho, \rho' = \pm 1, 0$  — спиральность дейтрана. Вершина  $O_k$  взаимодействия нуклонов с фотоном имеет вид

$$O_k = F_1^N(Q^2) \gamma_k + \frac{F_2^N(Q^2)}{2m} i \sigma_{k\nu} Q_\nu, \quad (2)$$

где  $Q$  — переданный импульс,  $F_{1,2}^N$  — электромагнитные формфакторы нуклона,  $\sigma_{k\nu} = (i/2) \times (\gamma_k \gamma_\nu - \gamma_\nu \gamma_k)$ .

### 3. ВЕРШИННЫЕ ФУНКЦИИ ДЕЙТРОНА. РАДИАЛЬНАЯ ВОЛНОВАЯ ФУНКЦИЯ И ЕЕ СВЯЗЬ С ВЕРШИННОЙ ФУНКЦИЕЙ

Полная вершинная функция перехода дейтрана в протон-нейтронную пару имеет вид

$$\Gamma_\beta = \Gamma_\beta^S G_S(M^2) + \Gamma_\beta^D G_D(M^2), \quad (3)$$

где  $\Gamma_\beta^S$  и  $\Gamma_\beta^D$  — вершинные функции дейтрана для волновых  $S$ - и  $D$ -состояний [1–3]:

$$\Gamma_\beta^S = \gamma_\beta - \frac{(p_1 - p_3)_\beta}{M + 2m}, \quad (4)$$

$$\Gamma_\beta^D = \frac{M^2 - 4m^2}{4} \gamma_\beta + \frac{M + m}{2} (p_1 - p_3)_\beta, \quad (5)$$

а  $G_{S,D}(M^2)$  — скалярные вершинные функции для волновых  $S$ - и  $D$ -состояний дейтрана, которые связаны с радиальными волновыми функциями дейтрана  $\Phi_{S,D}(M^2)$  [1] соотношением

$$\Phi_{S,D}(M^2) = \frac{G_{S,D}(M^2)}{M^2 - M_D^2}, \quad (6)$$

где  $M$  — инвариантная масса протон-нейтронной пары,  $M_D = 1875.6$  МэВ/ $c^2$  — масса дейтрана.

#### 4. ДВУХЧАСТИЧНОЕ СОСТОЯНИЕ В ПЕРЕМЕННЫХ СВЕТОВОГО КОНУСА

Рассмотрим двухчастичное состояние в переменных светового конуса<sup>1)</sup> с внутренними 4-импульсами  $p_1$  и  $p_3$ . Полный 4-импульс дейtronна равен  $P = p_1 + p_3$ . Поскольку  $P_+ = p_{1+} + p_{3+}$ , удобно ввести величины

$$z = p_{1+}/P_+, \quad 1 - z = p_{3+}/P_+$$

— доли импульса системы, которые несут частицы 1 и 3. Тогда

$$p_{1-} = \frac{m^2 + \mathbf{p}_{1\perp}^2}{2zP_+}, \quad p_{3-} = \frac{m^2 + \mathbf{p}_{3\perp}^2}{2(1-z)P_+}.$$

Квадрат инвариантной массы двунуклонных фоковских состояний равен

$$\begin{aligned} M^2 = P^2 = (p_1 + p_3)^2 &= \frac{m^2 + \mathbf{p}_{1\perp}^2}{z} + \\ &+ \frac{m^2 + \mathbf{p}_{3\perp}^2}{1-z} - (\mathbf{p}_{1\perp} + \mathbf{p}_{3\perp})^2. \end{aligned} \quad (7)$$

Поперечный импульс  $\mathbf{P}_\perp = \mathbf{p}_{1\perp} + \mathbf{p}_{3\perp}$  описывает движение системы как целого. Определим относительный поперечный импульс  $\mathbf{k}$  для двух начальных нуклонов соотношением

$$\mathbf{p}_{1\perp} = \mathbf{k} + z\mathbf{P}_\perp, \quad \mathbf{p}_{3\perp} = -\mathbf{k} + (1-z)\mathbf{P}_\perp. \quad (8)$$

Из соотношений (7) и (8) при  $m_1 = m_3 = m$  следует, что

$$M^2 = \frac{\mathbf{k}^2 + m^2}{z(1-z)}. \quad (9)$$

В переменных светового конуса 4-вектор импульса двунуклонных фоковских состояний с инвариантной массой  $M$  имеет компоненты

$$P = (P_+, P_-, \mathbf{P}_\perp) = \left( P_+, \frac{M^2 + \mathbf{P}_\perp^2}{2P_+}, \mathbf{P}_\perp \right). \quad (10)$$

Сpirальные состояния для двунуклонных фоковских состояний с инвариантной массой  $M$  в переменных светового конуса описываются продольным ( $\rho = 0$ ) 4-вектором поляризации [4, 5]

$$V^{(\rho=0)} = \frac{1}{M} \left( P_+, \frac{-M^2 + \mathbf{P}_\perp^2}{2P_+}, \mathbf{P}_\perp \right) \quad (11)$$

и поперечным ( $\rho = \pm 1$ ) 4-вектором поляризации в переменных светового конуса [4, 5],

$$V^{(\rho=\pm 1)} = \left( 0, \frac{\mathbf{P}_\perp \cdot \mathbf{e}^{(\pm 1)}}{P_+}, \mathbf{e}^{(\pm 1)} \right), \quad (12)$$

<sup>1)</sup> Современная техника светового конуса рассмотрена в работах [1, 4–6].

где поперечные циркулярные орты имеют привычный вид

$$\mathbf{e}^{(\pm 1)} = -\frac{1}{\sqrt{2}} (\pm \mathbf{e}_1 + i\mathbf{e}_2),$$

а  $\mathbf{e}_1$  и  $\mathbf{e}_2$  — единичные орты соответственно вдоль осей  $x$  и  $y$ .

Подчеркнем, что в формуле (11)  $M \neq M_D$ . В релятивистском случае вектор поляризации продольного состояния неизбежно зависит от инвариантной массы  $M$  протон-нейтронной пары. Такой продольный вектор поляризации двунуклонного фоковского состояния с инвариантной массой в ранних оценках релятивистских эффектов не использовался.

Если пара движется строго по оси  $z$ , т. е.  $\mathbf{P}_\perp = 0$  ( $P_x, P_y = 0, 0$ ), то

$$P = (P_+, P_-, 0, 0) = \left( P_+, \frac{M^2}{2P_+}, 0, 0 \right) \quad (13)$$

и в качестве поперечных векторов поляризации могут быть выбраны спиральные состояния  $V_\beta^{(\rho=\pm 1)} = (0, 0, \mathbf{e}^{(\rho=\pm 1)})$ . Для продольного состояния имеем

$$V_\beta^{(\rho=0)} = \frac{1}{M} \left( P_+, -\frac{M^2}{2P_+}, 0, 0 \right). \quad (14)$$

#### 5. МАТРИЧНЫЙ ЭЛЕМЕНТ ЭЛЕКТРОМАГНИТНОЙ ВЕРШИНЫ ДЕЙТРОННОГО ТОКА

Матричный элемент электромагнитной вершины дейтронного тока  $j_k$  связан с  $A_k$  соотношением  $F_k = \langle D' | j_k | D \rangle = -iA_k$ .

Как было показано в работах [6, 7], использование «плюсовой» компоненты дейтронного тока  $j_+$  ( $F_+ = \langle D' | j_+ | D \rangle$ ) в системе бесконечного импульса в специальной лоренцевой системе Брейта ( $Q_0 = 0$ ) дает правильное пространственно-временное описание релятивистских эффектов (невозможность рождения пар из вакуума).

Плюсовый компонент амплитуды (1) определяет условие нормировки зарядового формфактора дейтранона при нулевой передаче импульса фотона:

$$F_+ = 2P_+ F_1^S(0)(w_S + w_D) = 2P_+, \quad (15)$$

где  $w_S$  и  $w_D$  — вероятности волновых  $S$ - и  $D$ -состояний в дейтраноне, причем  $w_S + w_D = 1$ .

Вычисление следа в амплитуде (1) подробно рассматривался в работе [1]. Не повторяя все этапы расчета однопетлевого интеграла, матричный элемент

электромагнитной вершины  $F_+$  дейtronного тока в переменных светового конуса можем свести к виду

$$\begin{aligned} F_+ &= \frac{1}{2(2\pi)^3} \int \frac{dz d^2k}{z^2(1-z)} \times \\ &\quad \times \sum_{\lambda,\nu} \bar{v}(p_3, \lambda) V_\alpha^{(\rho)*} \Gamma_\alpha^* u(p_1, \nu) \times \\ &\quad \times \frac{\bar{u}(p_1, \nu) \gamma_+ u(p_1, \nu)}{(M^2 - M_D^2)^2} \bar{u}(p_1, \nu) V_\beta^{(\rho)} \Gamma_\beta v(p_3, \lambda) = \frac{1}{2(2\pi)^3} \times \\ &\quad \times \int \frac{dz d^2k}{z^2(1-z)} \sum_{\lambda,\nu} \Phi_{\lambda\nu}^* [\bar{u}(p_1, \nu) \gamma_+ u(p_1, \nu)] \Phi_{\nu\lambda}, \quad (16) \end{aligned}$$

где

$$\begin{aligned} \Phi_{\nu\lambda} &= \frac{\bar{u}(p_1, \nu) V_\beta^{(\rho)} \Gamma_\beta v(p_3, \lambda)}{M^2 - M_D^2} = \bar{u}(p_1, \nu) \times \\ &\quad \times \left[ \left( \Gamma_\beta^S V_\beta^{(\rho)} \right) \Phi_S(M^2) + \left( \Gamma_\beta^D V_\beta^{(\rho)} \right) \Phi_D(M^2) \right] \times \\ &\quad \times v(p_3, \lambda), \quad (17) \end{aligned}$$

где  $u(p_1, \nu)$  — спинор протона (входящий фермион с точки зрения фейнмановской диаграммы) с импульсом  $p_1$  и спиральностью  $s = \nu/2$ ,  $\nu = \pm 1$  [1, 5, 8],  $v(p_3, \lambda)$  — спинор для нейтрона (выходящий антифермион с точки зрения фейнмановской диаграммы) с импульсом  $p_3$  и спиральностью  $s = \lambda/2$ ,  $\lambda = \pm 1$  [1, 5, 8],  $\bar{u} = u^\dagger \gamma_0$ ,  $\bar{v} = v^\dagger \gamma_0$ . Следует отметить, что спиноры в формализме светового конуса отличаются от привычных спиноров Дирака только спиновым вращением, которое есть известное преобразование Вигнера–Мелоша [9, 10].

Выражения для нуклонных матричных элементов имеются в работах [1, 5, 8], в которых используются спиноры в формализме светового конуса, в частности

$$\hat{p}_1 + m = \sum_{\nu=\pm 1} u(p_1, \nu) \bar{u}(p_1, \nu), \quad (18)$$

$$\hat{p}_3 - m = \sum_{\lambda=\pm 1} v(p_3, \lambda) \bar{v}(p_3, \lambda), \quad (19)$$

$$\bar{u}(p_1, \nu) \gamma_+ u(p_1, \nu) = 2p_{1+} = 2zP_+, \quad (20)$$

$$\bar{u}(p_1, \nu) \gamma_+ \gamma_5 u(p_1, \nu) = 2\nu p_{1+} = 2\nu z P_+. \quad (21)$$

Формула (16) допускает простую квантовомеханическую интерпретацию: дейtron в спиновом состоянии, описываемый вектором поляризации  $V_\beta^{(\rho)}$ , со спиральностью  $\rho$ , представляется как система протон–нейtron со спиральностями  $\nu$  и  $\lambda$ . После расщепления система протон–нейtron проецируется на систему протон–нейtron в спиновом состоянии, описываемом вектором поляризации  $V_\alpha^{(\rho')}$ , со спиральностью  $\rho'$ . По всем промежуточным спиральностям  $\nu$ ,

$\lambda$  идет суммирование, и это суммирование заменяет вычисление фейнмановских следов.

Проведя необходимые преобразования матричных элементов (17), выпишем полную комбинацию волнового  $S$ -состояния вершинной функции для попоперечных поляризаций двунуклонного фоковского состояния с инвариантной массой  $M$  для спиральности  $\rho = \pm 1$ :

$$\begin{aligned} \bar{u}(p_1, \nu) V_\alpha^{(\rho)} \Gamma_\alpha^S v(p_3, \lambda) &= -\frac{m(1+\rho\nu)\delta_{\nu\lambda}}{\sqrt{2z(1-z)}} + \\ &+ \frac{k(\rho)\delta_{\nu,-\lambda}}{\sqrt{2z(1-z)}} [-(1-2z)+\rho\nu] + \\ &+ \frac{2k(\rho)[m(1-2z)\delta_{\nu,-\lambda}+k(-\lambda)\delta_{\nu\lambda}]}{(M+2m)\sqrt{2z(1-z)}}, \quad (22) \end{aligned}$$

где для удобства введены обозначения

$$k(\rho) = \sqrt{2} (\mathbf{k} \cdot \mathbf{e}^{(\rho)}) = -\rho k_1 - ik_2,$$

$$k(-\lambda) = \lambda k_1 - ik_2,$$

$$\mathbf{k} = (k_1, k_2), \delta_{\nu\lambda} — дельта-символ Кронекера.$$

Для продольной поляризации  $\rho = 0$  имеем

$$\begin{aligned} \bar{u}(p_1, \nu) V_\alpha^{(0)} \Gamma_\alpha^S v(p_3, \lambda) &= -2M\sqrt{z(1-z)}\delta_{\nu,-\lambda} - \\ &- \frac{(1-2z)M}{M+2m} \frac{m(1-2z)\delta_{\nu,-\lambda}+k(-\lambda)\delta_{\nu\lambda}}{\sqrt{z(1-z)}}. \quad (23) \end{aligned}$$

Здесь следует использовать в качестве  $V_\alpha^{(0)}$  именно «бегущий» вектор продольной поляризации, зависящий от инвариантной массы (9) пары нуклонов.

Из приведенных выше выражений видно, что в попоперечном дейtronе имеется примесь состояний двух нуклонов с конусными спиральностями  $\lambda = \nu = -1$ . Совершенно аналогично в продольном дейtronе со спиральностью  $\rho = 0$  кроме состояний пары  $\lambda + \nu = 0$  имеется примесь состояний с  $\lambda = \nu = \pm 1$ . Разница между суммой спиральностей нуклонов и спиральностью дейтрана обусловлена орбитальным угловым моментом пары.

Аналогично, для волнового  $D$ -состояния получаем

$$\begin{aligned} \bar{u}(p_1, \nu) V_\alpha^{(\rho)} \Gamma_\alpha^D v(p_3, \lambda) &= -\frac{M^2 - 4m^2}{4} \times \\ &\times \frac{m(1+\rho\nu)\delta_{\nu\lambda}}{\sqrt{2z(1-z)}} + \frac{M^2 - 4m^2}{4} \frac{k(\rho)\delta_{\nu,-\lambda}}{\sqrt{2z(1-z)}} \times \\ &\times [-(1-2z)+\rho\nu] - \frac{(M+m)k(\rho)}{\sqrt{2z(1-z)}} \times \\ &\times [m(1-2z)\delta_{\nu,-\lambda}+k(-\lambda)\delta_{\nu\lambda}], \quad (24) \end{aligned}$$

$$\begin{aligned} \bar{u}(p_1, \nu) V_{\alpha}^{(0)} \Gamma_{\alpha}^D v(p_3, \lambda) = & -\frac{(M^2 - 4m^2)M}{2} \times \\ & \times \sqrt{z(1-z)} \delta_{\nu, -\lambda} + \frac{(M+m)M(1-2z)}{2\sqrt{z(1-z)}} \times \\ & \times [m(1-2z)\delta_{\nu, -\lambda} + k(-\lambda)\delta_{\nu\lambda}]. \quad (25) \end{aligned}$$

Стоит обратить внимание, что для волнового двунуклонного фоковского  $S$ -состояния с инвариантной массой  $M$  имеет место примечательная компенсация довольно сложных вкладов квадратов вершинных функций (22) и (23):

$$\sum_{\lambda, \nu} \Phi_{\nu\lambda}^{(\rho)*} \Phi_{\nu\lambda}^{(\rho)} = 2M^2 |\Phi_S(M^2)|^2.$$

Видно, что, во-первых, квадраты вершинных функций (22) и (23) не зависят от  $z$  или  $\mathbf{k}^2$  по отдельности, а зависят только от радиальной переменной  $M^2$  и, во-вторых, что они одинаковы для всех спиральностей двунуклонного фоковского состояния, как это и должно быть для чисто волнового  $S$ -состояния дейтрона. Кстати, последнее свойство выполняется, только если использовать «бегущий» вектор продольной поляризации (11). Если бы использовался «внешний» вектор продольной поляризации, определенный для фиксированной массы дейтрона  $M_D$ , то это свойство было бы нарушено. Формальная причина в том, что в этом случае произошло бы смешивание продольно поляризованного векторного состояния со скалярным состоянием, что нарушило бы соотношения угловой симметрии между состояниями дейтрона с разными спиральностями.

Из условия нормировки формфакторов получаем условие нормировки радиальных волновых функций фоковских состояний с определенной инвариантной массой для  $S$ - и  $D$ -волн по отдельности [1]:

$$\begin{aligned} \frac{1}{(2\pi)^3} \int \frac{dz d^2k}{z(1-z)} M^2 |\Phi_S(M^2)|^2 = \\ = \frac{1}{(2\pi)^3} \int d^3p \cdot 4M |\Phi_S(M^2)|^2 = w_S, \quad (26) \end{aligned}$$

$$\begin{aligned} \frac{1}{(2\pi)^3} \int \frac{dz d^2k}{z(1-z)} 2M^2 \mathbf{p}^4 |\Phi_D(M^2)|^2 = \\ = \frac{1}{(2\pi)^3} \int d^3p \cdot 8M \mathbf{p}^4 |\Phi_D(M^2)|^2 = w_D. \quad (27) \end{aligned}$$

В нерелятивистском формализме обычно используется нормировка

$$\int_0^\infty dp p^2 (\Psi_S^2(p) + \Psi_D^2(p)) = w_S + w_D = 1. \quad (28)$$

Соответствие между радиальными волновыми функциями  $\Phi_{S,D}$  и нерелятивистскими волновыми функциями  $\Psi_{S,D}$  имеет вид

$$|\Phi_S|^2 = \frac{\pi^2}{2M} |\Psi_S|^2, \quad (29)$$

$$|\Phi_D|^2 = \frac{\pi^2}{4M \mathbf{p}^4} |\Psi_D|^2. \quad (30)$$

В качестве нерелятивистских волновых функций  $\Psi_{S,D}$  можно использовать ряд современных реалистических волновых функций, например бонинскую [11] и парижскую [12].

## 6. РЕЛЯТИВИСТСКАЯ ЯДЕРНАЯ ПОПРАВКА К СРЕДНЕЙ СПИРАЛЬНОСТИ ПРОТОНА

При последовательном релятивистском описании дейтрона представляется актуальной оценка различных релятивистских поправок. В данной работе оценивается релятивистское выражение для средней спиральности протона в дейтроне. Как известно, в нерелятивистском приближении удвоенная средняя спиральность  $\langle \nu_p \rangle$  определяется выражением

$$\langle \nu_p \rangle_{nonrel} = \langle S_z \rangle = w_S - \frac{1}{2} w_D = 1 - \frac{3}{2} w_D. \quad (31)$$

В релятивистском рассмотрении это выражение кардинально изменится. Выражение для средней спиральности имеет следующий вид:

$$\langle \nu_p \rangle = \frac{1}{2P_+} \int \frac{d^4p_3}{(2\pi)^4} \frac{\text{Sp} \left\{ \left( \Gamma_{\beta} V_{\beta}^{(\rho)} \right) (m - \hat{p}_3) \left( \Gamma_{\alpha}^* V_{\alpha}^{(\rho)*} \right) (\hat{p}_2 + m) \gamma_+ \gamma_5 (\hat{p}_1 + m) \right\}}{i [(p_3^2 - m^2 + i\varepsilon)(p_2^2 - m^2 + i\varepsilon)(p_1^2 - m^2 + i\varepsilon)]}. \quad (32)$$

Приведем окончательное выражение для релятивистской средней спиральности протона в дейтроне:

$$\begin{aligned} \langle \nu_p \rangle = & \frac{1}{2(2\pi)^3} \int \frac{dz d^2k}{z(1-z)} \left\{ \frac{2}{(M+2m)z(1-z)} \times \right. \\ & \times \{ \mathbf{k}^2 [-(1-2z)M+2m] + m^2(M+2m) \} \Phi_S^2(M^2) + \\ & + \frac{M^2 - 4m^2}{8z(1-z)} \{ \mathbf{k}^2 [-(M+2m)[(1-2z)M+2m] - \\ & - 4mM(1-z)] + m^2(M^2 - 4m^2) \} \Phi_D^2(M^2) + \\ & + \frac{1}{z(1-z)} \{ \mathbf{k}^2 [-(M+2m)[(1-2z)M+2m] + \\ & \left. + 2mM(1-z)] + m^2(M^2 - 4m^2) \} \times \\ & \times \Phi_S(M^2) \Phi_D(M^2) \}. \quad (33) \end{aligned}$$

Разделим выражение (33) на привычную нерелятивистскую часть (31) и релятивистскую поправку  $\Delta_{rel}$ :

$$\langle \nu_p \rangle = w_S - \frac{1}{2}w_D + \Delta_{rel} = 1 - \frac{3}{2}w_D + \Delta_{rel}. \quad (34)$$

Тогда

$$\begin{aligned} \Delta_{rel} = & \frac{1}{(2\pi)^3} \int d^3p \times \\ & \times \left\{ \frac{4M\mathbf{k}^2(2p_z - m)}{(M+2m)(\mathbf{k}^2 + m^2)} \Phi_S^2(M^2) + \frac{\mathbf{p}^2 M}{\mathbf{k}^2 + m^2} \times \right. \\ & \times [2\mathbf{k}^2 p_z(M+4m) + 8m^2 p_z^2 + \mathbf{k}^2 M(M-4m)] \times \\ & \times \Phi_D^2(M^2) + \frac{2M}{\mathbf{k}^2 + m^2} \{ \mathbf{k}^2 [M(2p_z - m) + 2mp_z] + \\ & \left. + 4m^2 p_z^2 \} \Phi_S(M^2) \Phi_D(M^2) \}, \quad (35) \end{aligned}$$

где  $\mathbf{p} = (\mathbf{k}, p_z)$  — относительный внутридейтронный трехмерный импульс, введенный в работе [13],

$$p_z = -\frac{1}{2}(1-2z)M, \quad \mathbf{p}^2 = \frac{1}{4}M^2 - m^2.$$

Следует отметить, что  $\langle \mathbf{k}^2 \rangle = 2\mathbf{p}^2/3$ .

Приведенное выражение для средней спиральности показывает, что в релятивистском случае появляются интерференционные вклады от волновых  $S$ -и  $D$ -состояний. Следует отметить, что при  $\mathbf{k}^2 \ll m^2$  выражение (33) переходит в нерелятивистскую формулу (31) и  $\Delta_{rel} = 0$ . Для численного расчета используются две волновые функции дейтрона: боннскую и парижскую. Результаты расчета средней спиральности приведены в таблице.

Из данных таблицы видно, что релятивистская поправка составляет менее 1 % от полного значения.

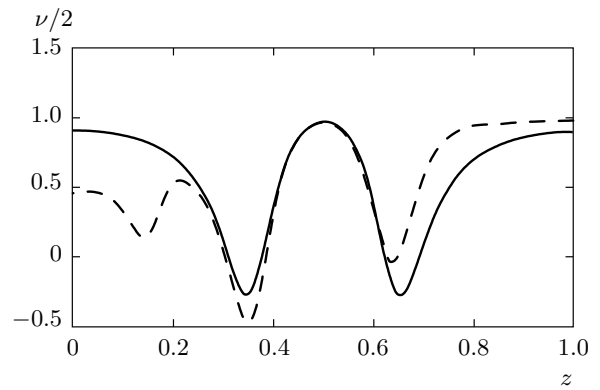


Рис. 2. Зависимости распределения средней спиральности  $\nu(z)/2$  от величины доли  $z$  импульса системы; для нерелятивистского (сплошная линия) и релятивистского (штриховая линия) случаев

Интерференционные вклады в релятивистскую поправку от волновых  $S$ - и  $D$ -состояний малы, но тем не менее следует подчеркнуть, что в релятивистском случае они отличны от нуля. Видно, что вклад релятивистской поправки в среднюю спиральность протона в дейтроне мал.

Если среднюю спиральность (33) представить в виде

$$\langle \nu_p \rangle = \int_0^1 \nu(z) dz, \quad (36)$$

то можно оценить зависимость подынтегрального выражения  $\nu(z)$  (распределение средней спиральности дейтрона) от  $z$ . На рис. 2 представлена зависимость  $\nu(z)$  с использованием боннской волновой функции дейтрона [11]. Как нетрудно заметить, в релятивистском случае появляется любопытная асимметрия, чего не наблюдается в нерелятивистском случае. Видно, что в первом из указанных случаев нуклон, уносящий большую долю импульса системы  $z$ , дает больший вклад в распределение средней спиральности дейтрона. Рисунок 2 гласит, что описание дейтрона на световом конусе дает среднее значение локальной по  $z$  спиральности резко отличающееся от предсказаний нерелятивистского формализма.

## 7. РЕЛЯТИВИСТСКИЕ ЯДЕРНЫЕ ПОПРАВКИ К СПИН-ЗАВИСИМОЙ СТРУКТУРНОЙ ФУНКЦИИ ДЕЙТРОНА $g_1^D(x, Q^2)$

Если пренебречь поперечным импульсом кварка по сравнению с его продольным импульсом в

Таблица. Результаты расчета средней спиральности для двух приближений

Расчетная формула	Волновая функция	Часть волнового состояния			Полное значение выражения
		S	D	SD (интерференция)	
Нерелятивистский случай					
$\langle \nu_p \rangle_{nonrel} = w_S - w_D/2$	Б	1.0	−0.5	0	0.93625
	П				0.91345
Релятивистский случай (по результатам расчета по формуле (33))					
$\langle \nu_p \rangle$	Б	0.99507	−0.48690	$1.1252 \cdot 10^{-4}$	0.93223
	П	0.99485	−0.48337	$4.0319 \cdot 10^{-5}$	0.90957

Примечание: в нерелятивистском случае  $w_D = 0.0425$  (Б),  $w_D = 0.0577$  (П); Б, П — боннская и парижская волновые функции.

глубоконеупругом рассеянии лептонов на протонах при высоких энергиях, то 4-вектор импульса кварка можно представить в виде  $x_N p^\mu$ , где  $x_N$  — скейлинговая безразмерная переменная Бёркена для нуклона,  $x_N = Q^2/2pq$  ( $0 < x_N < 1$ ),  $p^\mu$  — 4-вектор импульса нуклона,  $q^\mu$  — 4-вектор переданного импульса виртуального фотона,  $Q^2 = -q^2$ . Кроме того, если 4-вектор импульса кварка представить в виде  $x_D P^\mu$ , где  $x_D = Q^2/2Pq$ ,  $P^\mu$  — 4-вектор импульса дейтрона, то

$$p^\mu = \frac{x_D}{x_N} P^\mu, \quad p_+ = \frac{x_D}{x_N} P_+ \equiv z P_+, \quad z = \frac{x_D}{x_N}.$$

Как известно спин-зависимая структурная функция нуклона  $g_1^N(x_N, Q^2)$  представляет собой разность вероятностей того, что кварк в продольно-поляризованном нуклоне имеет долю импульса  $x_N$  и его спин направлен вдоль или против спина нуклона,

$$g_1(x_N) = \frac{1}{2} \sum_q e_q^2 [q^\dagger(x_N) - q^\dagger(x_N)],$$

где  $e_q$  — заряд кварка,  $q^\dagger(x_N)$  — распределение по доли импульса  $x_N$  кварков с проекцией спина  $+1/2$  на направление спина нуклона.

Спин- зависимая структурная функция нуклона  $g_1^N(x_N, Q^2)$  представляется в виде полусуммы спин- зависимых структурных функций протона и нейтрона:

$$g_1^N(x_N, Q^2) = \frac{1}{2} [g_1^p(x_N, Q^2) + g_1^n(x_N, Q^2)]. \quad (37)$$

Спин- зависимую структурную функцию протона в первом приближении получают из экспериментально наблюдаемых величин — продольной асимметрии  $A_\parallel$ , фактора деполяризации  $D$  виртуального фотона, и неполяризованных структурных функций  $F_2^p(x, Q^2)$  и  $R(x, Q^2)$  [14]:

$$g_1^p = \frac{F_2^p(x, Q^2)}{2x [1 + R(x, Q^2)]} \frac{A_\parallel}{D}.$$

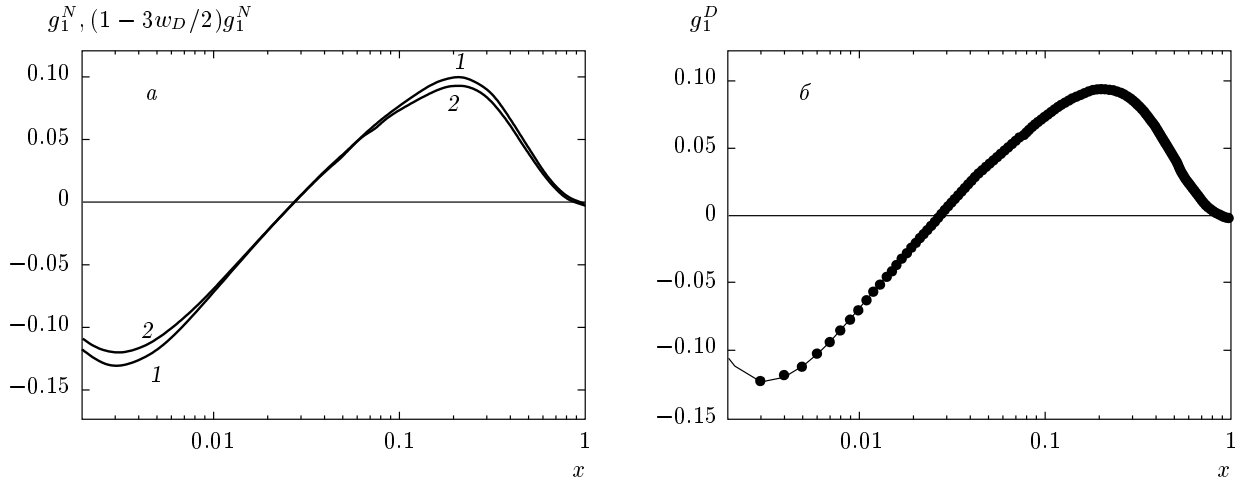
Результат для спин- зависимой структурной функции нейтрона извлекают из измеряемых в эксперименте спин- зависимых структурных функций дейтрона и протона [15].

Техника вычисления ядерных поправок к спин- зависимой структурной функции дейтрона актуальна, поскольку данные по дейтрону являются источником информации для определения спин- зависимой структурной функции нейтрона. Данному вопросу посвящено обширное число публикаций (см., например, [16–18]).

Спин- зависимая структурная функция дейтрона  $g_1^D(x_D, Q^2)$  в бёркеновском пределе выражается через распределение средней спиральности  $\nu(z)$  дейтрона и спин- зависимую структурную функцию нуклона  $g_1^N(x_D, Q^2)$  следующим образом:

$$g_1^D(x_D, Q^2) = \int_{x_D}^1 \frac{dz}{z} \nu(z) g_1^N\left(\frac{x_D}{z}, Q^2\right). \quad (38)$$

Как известно, величина первого момента спин- зависимой структурной функции дейтрона представляет собой интеграл:



**Рис. 3.** Спин-зависимые структурные функции  $g_1^N$  (а, кривая 1),  $(1 - 3w_D/2)g_1^N$  (б, кривая 2) для нуклона, рассчитанные по формуле (37), и  $g_1^D$  (б) для дейтрона по результатам расчета по формуле (38) как функции  $x$  при  $Q^2 = 5 \text{ ГэВ}^2$

$$\begin{aligned} \Gamma_1^D(Q^2) &= \int_0^1 g_1^D(x_D, Q^2) dx_D = \\ &= \int_0^1 dx_D \int_{x_D}^1 \frac{dz}{z} \nu(z) g_1^N\left(\frac{x_D}{z}, Q^2\right), \quad (39) \end{aligned}$$

а величина первого момента спин-зависимой структурной функции нуклона

$$\Gamma_1^N(Q^2) = \int_0^1 g_1^N(x_N, Q^2) dx_N \quad (40)$$

характеризует полный вклад夸克ов в спин нуклона.

Выражение для первого момента спин-зависимой структурной функции дейтрона (39) с помощью замены переменных  $x_N = x_D/z$  и с учетом формулы (34) можно разделить на нерелятивистскую часть и релятивистскую поправку:

$$\begin{aligned} \Gamma_1^D(Q^2) &= \int_0^1 \nu(z) dz \int_0^1 g_1^N(x_N, Q^2) dx_N = \\ &= \langle \nu_p \rangle \int_0^1 g_1^N(x_N, Q^2) dx_N = \langle \nu_p \rangle \Gamma_1^N(Q^2) = \\ &= \left(1 - \frac{3}{2} w_D\right) \Gamma_1^N(Q^2) + \Delta_{rel} \Gamma_1^N(Q^2). \quad (41) \end{aligned}$$

Приведем экспериментальные значения первых моментов спин-зависимых структурных функций

протона  $\Gamma_1^p$  и нейтрона  $\Gamma_1^n$  при  $Q^2 = 5 \text{ ГэВ}^2$ , полученные коллегией E155 из анализа всех доступных данных [19]:

$$\Gamma_1^p = 0.118 \pm 0.004 \text{ (стат.)} \pm 0.007 \text{ (систем.)}, \quad (42)$$

$$\Gamma_1^n = -0.058 \pm 0.005 \text{ (стат.)} \pm 0.008 \text{ (систем.)}. \quad (43)$$

Экспериментальное значение для  $\Gamma_1^D$  равно

$$\Gamma_1^D = 0.028 \pm 0.004 \text{ (стат.)} \pm 0.005 \text{ (систем.)}. \quad (44)$$

Для первых моментов протона и нейтрона существуют теоретические соотношения, связывающие их с фундаментальными константами слабых взаимодействий — правила сумм Бьёркена и Эллиса–Джаффе. Проверка правила сумм Бьёркена для  $Q^2 = 5 \text{ ГэВ}^2$  по данным эксперимента [19] дало следующий результат:

$$\Gamma_1^p - \Gamma_1^n = 0.176 \pm 0.003 \text{ (стат.)} \pm 0.007 \text{ (систем.)}. \quad (45)$$

Запишем первый момент спин-зависимой структурной функции нейтрона, который извлекают из измеряемых в эксперименте первых моментов спин-зависимых структурных функций дейтрона  $\Gamma_1^D$  и протона  $\Gamma_1^p$  с учетом релятивистской поправки:

$$\Gamma_1^n(Q^2) = \frac{2\Gamma_1^D(Q^2)}{\langle \nu_p \rangle} - \Gamma_1^p(Q^2). \quad (46)$$

При  $Q^2 = 5 \text{ ГэВ}^2$  получаем  $\Gamma_1^n = -0.05621$ . Правило сумм Бьёркена при  $Q^2 = 5 \text{ ГэВ}^2$  даст следующий результат:  $\Gamma_1^p - \Gamma_1^n = 0.17421$ .

Для спин-зависимой структурной функции нуклона  $g_1^N(x, Q^2)$  существуют несколько различных параметризаций. В данной работе будет использована параметризация партонных распределений LSS2006 [20].

На рис. 3а приведены результаты расчета структурной функции нуклона  $g_1^N$  (37) при  $Q^2 = 5 \text{ ГэВ}^2$  и структурной функции нуклона  $g_1^N$  (37), умноженной на  $1 - 3w_D/2$  при  $Q^2 = 5 \text{ ГэВ}^2$ , параметризованной через партонные распределения LSS2006. На рис. 3б представлены результаты расчета структурной функции дейтрона  $g_1^D$  по формуле (38) при  $Q^2 = 5 \text{ ГэВ}^2$ . Результаты приведены с использованием бонинской волновой функции дейтрона [11].

Из рис. 3 видно, что зависимость спин-зависимой структурной функции дейтрона  $g_1^D$  от  $x$ , рассчитанной по релятивистской формуле (38), не сильно отличается от спин-зависимой структурной функции  $(1 - 3w_D/2)g_1^N$ , параметризованной через партонные распределения LSS2006. Видно, что вклад релятивистской поправки в спин-зависимую структурную функцию дейтрона  $g_1^D$  мал. Это связано с тем, что в качестве волновой функции дейтрона использовалась нерелятивистская волновая функция [11]. Но можно предположить, что при рассмотрении волновой функции дейтрона, описывающей малые межнуклонные расстояния, при которых будут проявляться вклады, обусловленные кварк-глюонной структурой нуклона, этот вклад будет не так мал. Полного решения уравнения для дейтрона на световом конусе не существует. Ряд широко используемых потенциалов содержит компоненты вообще не поддающиеся теоретико-полевой трактовке. Поэтому в качестве начального приближения предполагалось оценивать релятивистские эффекты, используя правила соответствия (29), (30) и современные реалистические волновые функции, например бонинскую и парижскую.

В заключение автор выражает глубокую благодарность Н. Н. Николаеву за ценные идеи и обсуждения, стимулировавшие появление данной работы, С. И. Манаенкову за критические замечания и полезные обсуждения и Л. А. Кондратюку за чрезвычайно полезные дискуссии, посвященные формализму светового конуса.

## ЛИТЕРАТУРА

1. I. P. Ivanov, arXiv:hep-ph/9909394.
2. V. V. Anisovich, D. I. Melikhov, B. Ch. Metsch et al., Nucl. Phys. A **563**, 543 (1993).
3. W. Jaus, Phys. Rev. D **44**, 2851 (1991).
4. Ho-Meoyng Choi and Chueng-Ryong Ji, Phys. Rev. D **70**, 053015 (2004).
5. S. J. Brodsky, P. Hans-Christian, and S. S. Pinsky, Phys. Rep. **301**, 229 (1998).
6. L. A. Kondratyuk and M. I. Strikman, Nucl. Phys. A **426**, 575 (1984).
7. М. А. Браун, М. В. Токарев, ЭЧАЯ **22**, 1237 (1991).
8. G. P. Lepage and S. J. Brodsky, Phys. Rev. D **22**, 2157 (1980).
9. H. J. Melosh, Phys. Rev. D **9**, 1095 (1974).
10. Л. А. Кондратюк, М. В. Терентьев, ЯФ **31**, 1087 (1981).
11. R. Machleidt, K. Holinde, and Ch. Elster, Phys. Rep. **149**, 1 (1987).
12. M. Lacombe, B. Loiseau, R. Vinh Mau et al., Phys. Lett. B **101**, 139 (1981).
13. М. В. Терентьев, ЯФ **24**, 207 (1976).
14. M. Anselmino, A. Efremov, and E. Leader, arXiv: hep-ph/9501369v2.
15. P. L. Anthony, R. G. Arnold, T. Averett et al., arXiv:hep-ph/0007248v1.
16. C. Ciofi degli Atti, S. Scopetta, A. Yu. Umnikov et al., arXiv:nucl-th/9602026v1.
17. W. Melnitchouk, G. Piller, and A. W. Thomas, Phys. Lett. B **346**, 165 (1995).
18. A. Yu. Umnikov, F. C. Khanna, and L. P. Kaptari, arXiv:hep-ph/9608459v1.
19. P. L. Anthony et al. (collaboration E155), Phys. Lett. B **493**, 19 (2000).
20. E. Leader, A. V. Sidorov, and D. B. Stamenov, Phys. Rev. D **75**, 074027 (2007).